

# OBSAH

OBSAH.....	2
Úvod .....	3
Modelování diskontinuitního horninového masivu.....	4
Redukce prostorového modelu na rovinný model, vliv času .....	8
Určení stability čelby.....	16
Modelování svorníkové výstroje .....	17
Modelování postupu výstavby – NRTM.....	24
Základní 2D modely tunelů.....	25
Literatura .....	27
Dodatek A Určení tuhosti a odporu mechanicky upínaných svorníků.....	28
Dodatek B Příklad užití $\beta$ metody .....	31

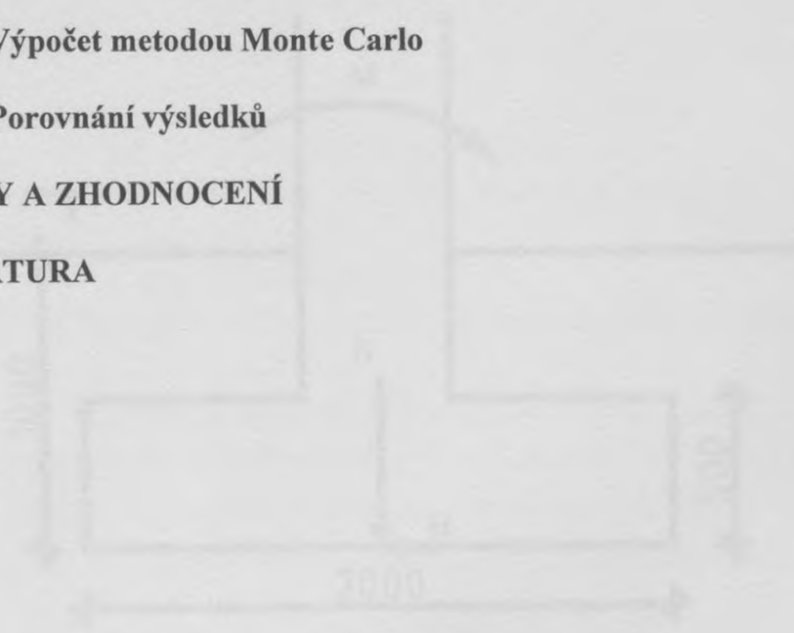
*[Faint, illegible text, likely bleed-through from the reverse side of the page.]*

## SCHEMA FLOWU VÝSTAVBY TUNELŮ



**OBSAH:**

<b>1. ÚVOD</b>	<b>3</b>
<b>2. PRAKTICKÝ PŘÍKLAD</b>	<b>3</b>
<b>2.1 Postup výpočtu</b>	<b>4</b>
2.1.1 Postup dle ČSN 73 1001	4
2.1.2 Pravděpodobnostní přístup, metoda Monte Carlo	6
<b>2.2 Výpočet dle ČSN 73 1001</b>	<b>8</b>
2.2.1 Použití maximálních hodnot zatížení	8
2.2.2 Použití nejčastějších hodnot zatížení	9
<b>2.3 Výpočet metodou Monte Carlo</b>	<b>10</b>
<b>2.4 Porovnání výsledků</b>	<b>12</b>
<b>3. ZÁVĚRY A ZHODNOCENÍ</b>	<b>14</b>
<b>4. LITERATURA</b>	<b>15</b>



Obr. 1. Geometrie základu (ČSN 73 1001) [1]

Výpočet je proveden pomocí programu Monte Carlo [2].

$$\begin{aligned}
 H &= 20 - 200 \text{ kPa, } \sigma_{H,1} = 100 \text{ kPa, } \sigma_{H,2} = 100 \text{ kPa,} \\
 \sigma &= 150 - 630 \text{ kPa, } \sigma_{\sigma,1} = 100 \text{ kPa, } \sigma_{\sigma,2} = 100 \text{ kPa,} \\
 \sigma_1 &= 20 - 100 \text{ kPa, } \sigma_{\sigma_1,1} = 100 \text{ kPa, } \sigma_{\sigma_1,2} = 100 \text{ kPa.}
 \end{aligned}$$

Geometrie základu je zobrazena na obr. 1. Základ je proveden jako X (200).  
 Vypočet je proveden pomocí programu Monte Carlo [2].  
 Výsledky výpočtu jsou uvedeny v tabulce 1. Základ je proveden jako X (200).  
 Výsledky výpočtu jsou uvedeny v tabulce 1. Základ je proveden jako X (200).